Pomiary laboratoryjne, spektroskop cząstek pola torsyjnego

Diana Wojtkowiak

2026

Thomas G. Hieronymus
US 2482773 (1946)
Detection of emenations from mateials and measurement of volumes thereof
Promieniowanie eloptyczne

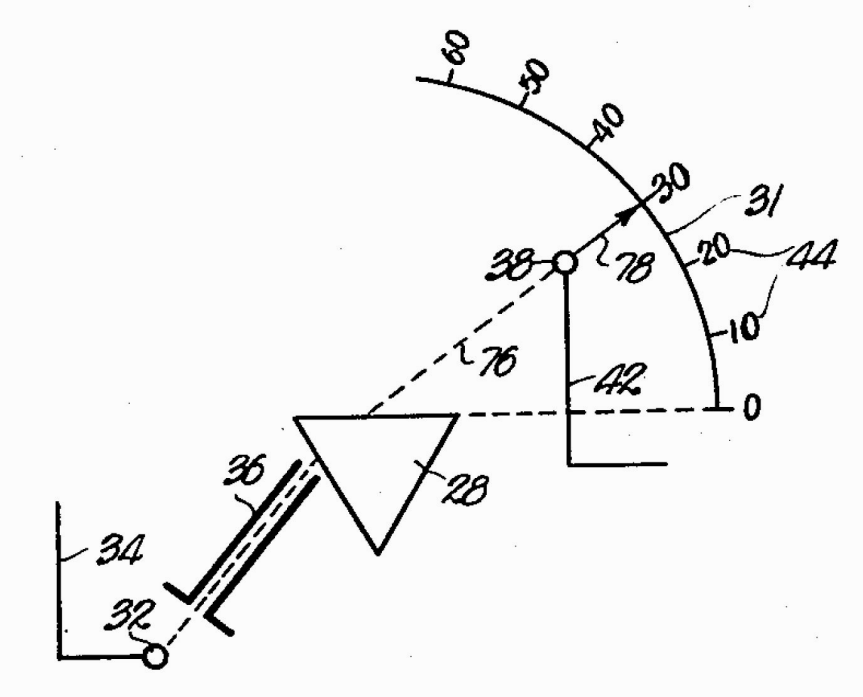

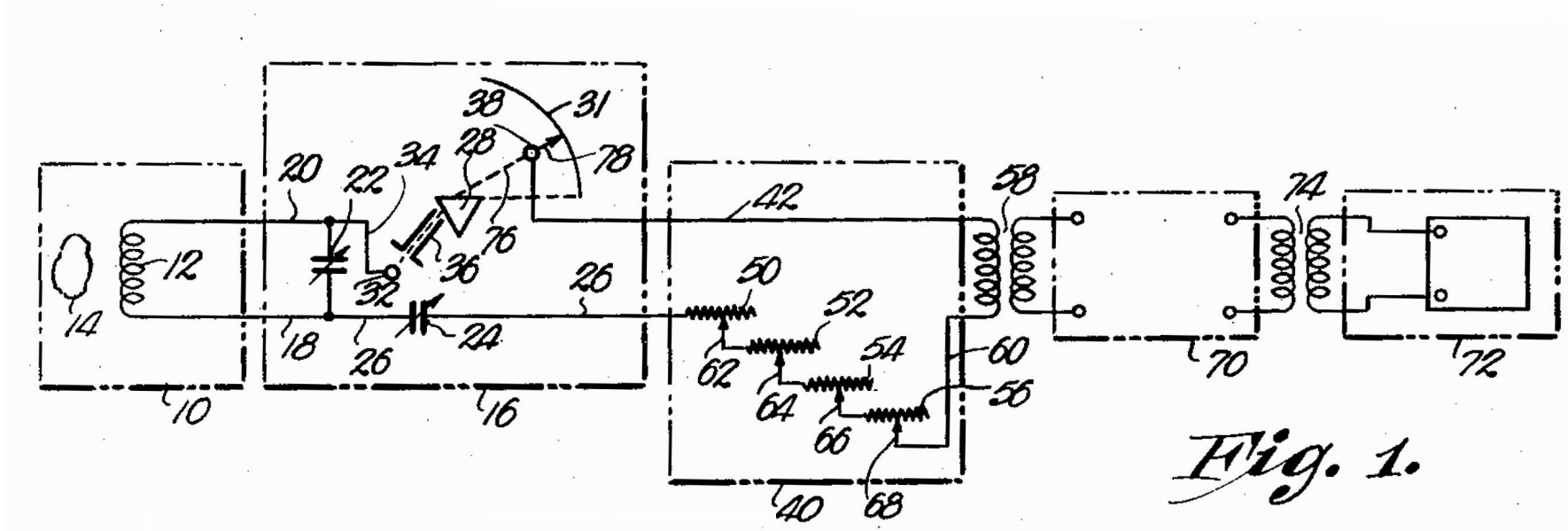
38
31
28
78
20
22
34
76
42
58
74
12
36
50
52
32
26
14
18
26
24
62
54
60
64
56
66
70
72
10
16
40
68

Fig. 1.

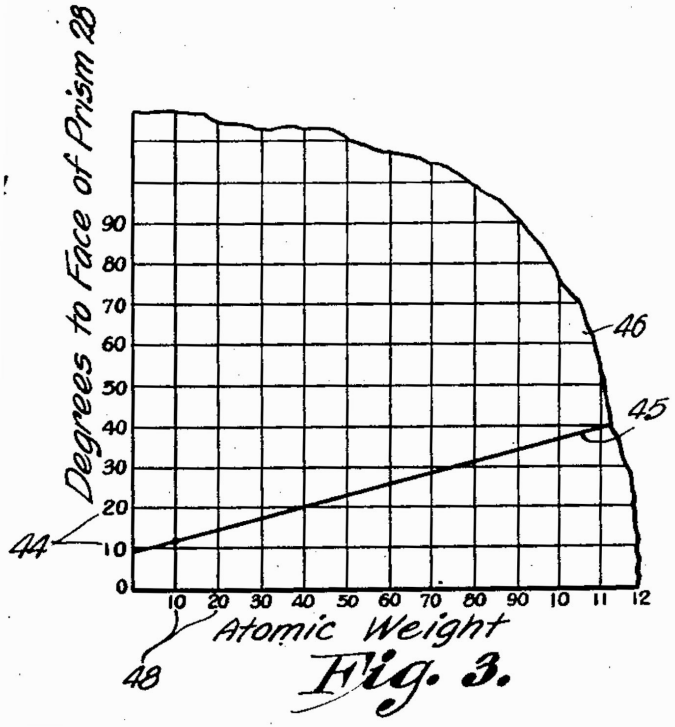
Degrees to Face of Prism 28
90
80
70
60
50
40
30
20
10
0
46
45
44
10 20 30 40 50 60 70 80 90 10 11 12
Atomic Weight
48

Fig. 3.

Spektroskop cząstek pola torsyjnego typu optycznego

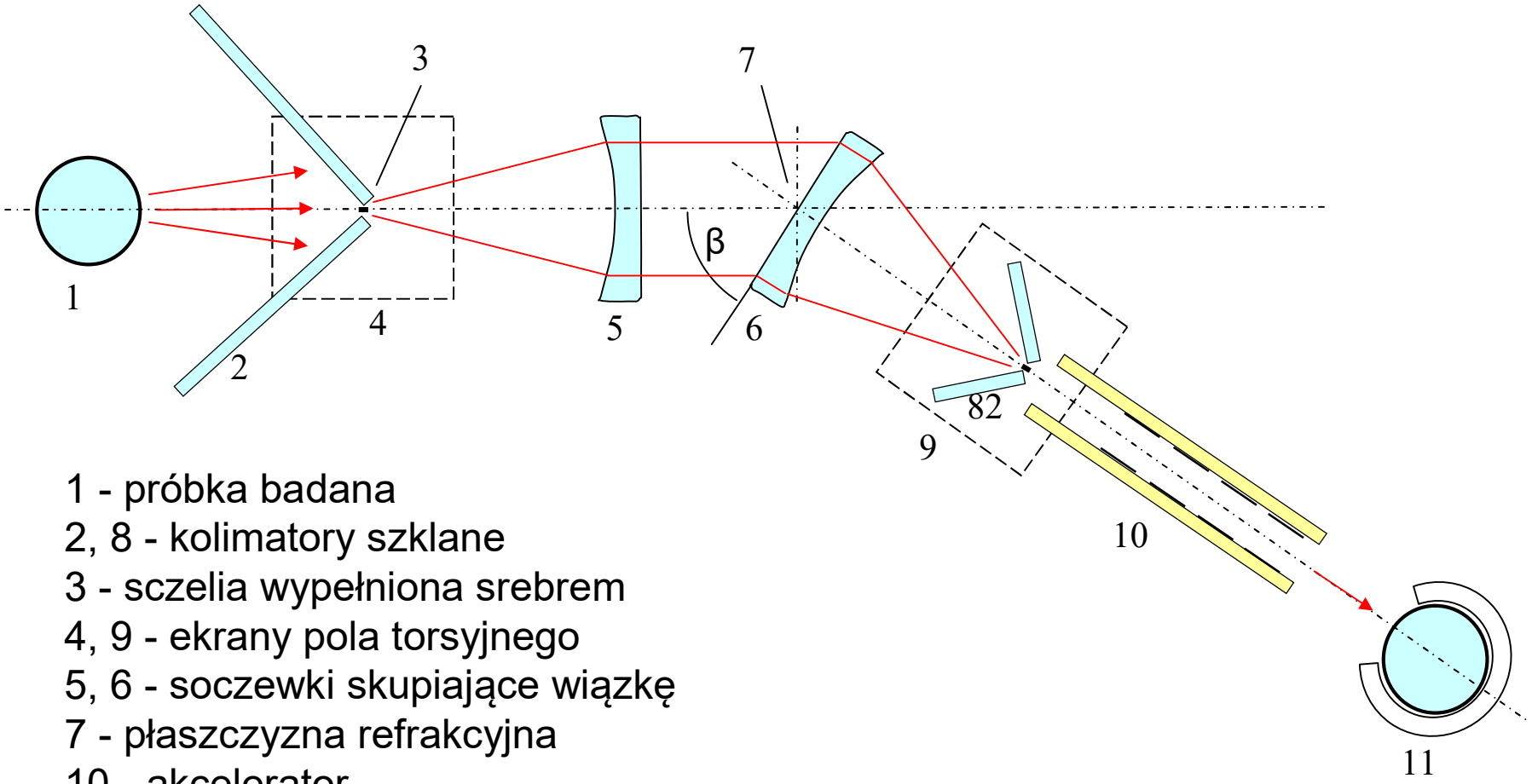

1 - próbka badana
2, 8 - kolimatory szklane
3 - sczelia wypełniona srebrem
4, 9 - ekrany pola torsyjnego
5, 6 - soczewki skupiające wiązkę
7 - płaszczyzna refrakcyjna
10 - akcelerator
11 - odbiornik sygnału

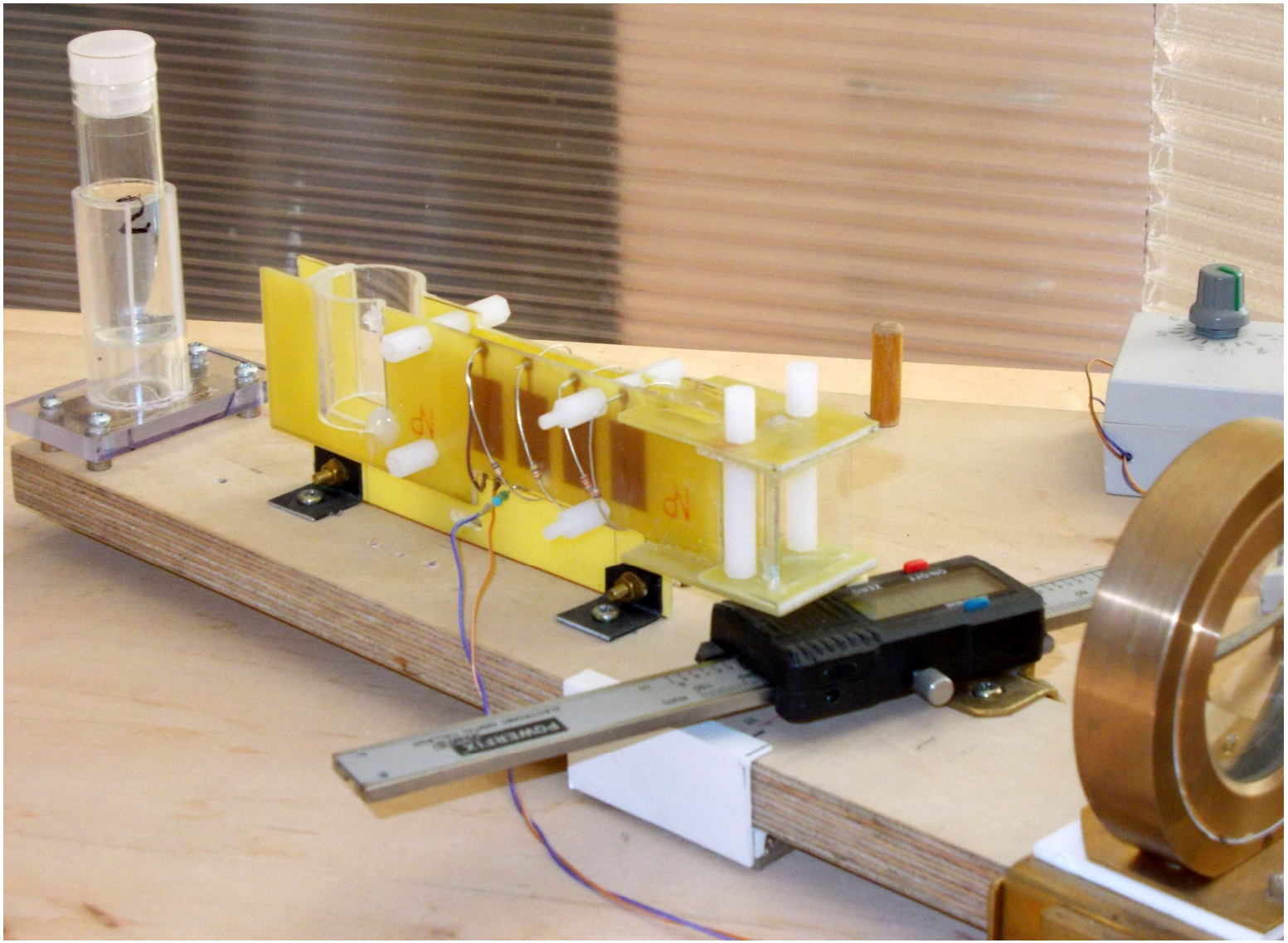

Naturalne izotopy

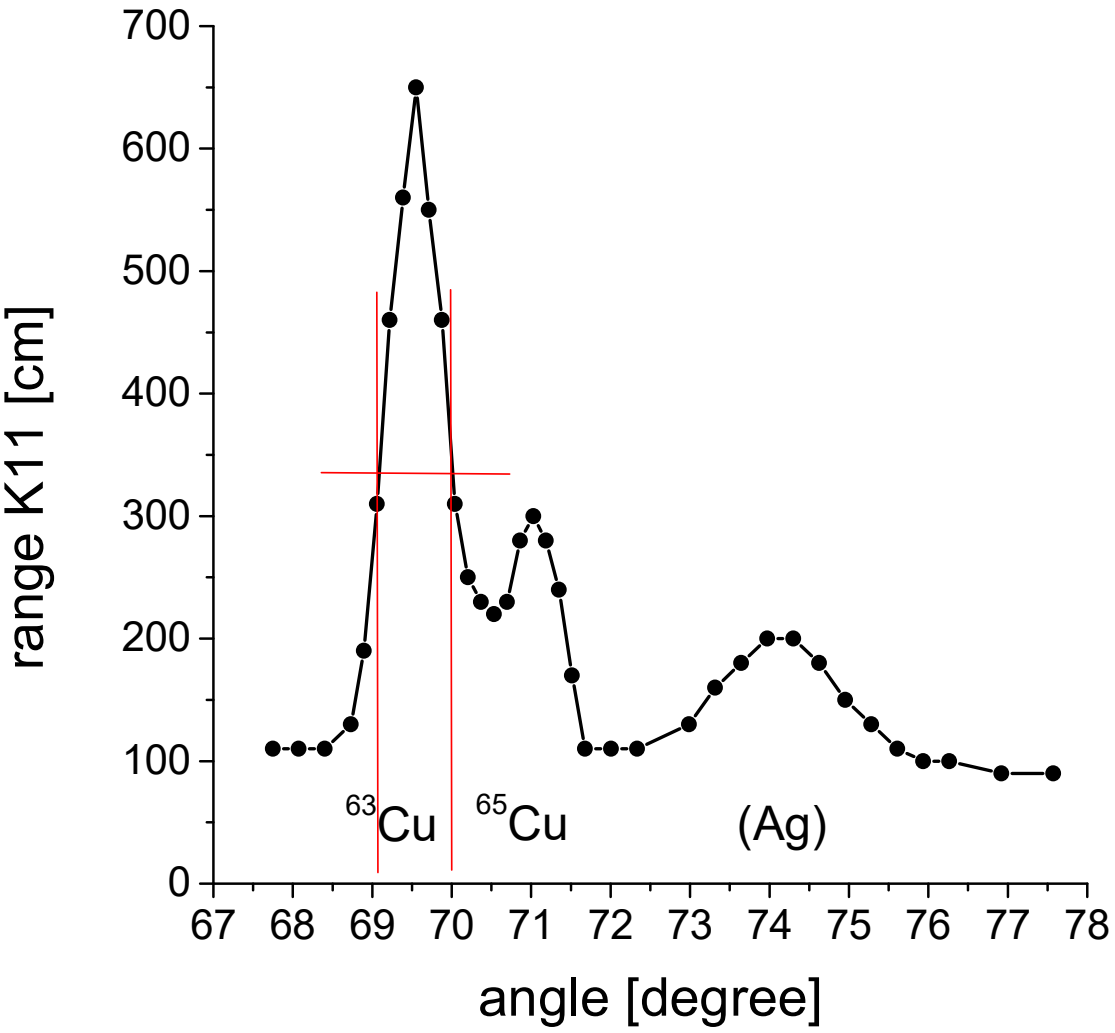

Pierwiastki chemiczne

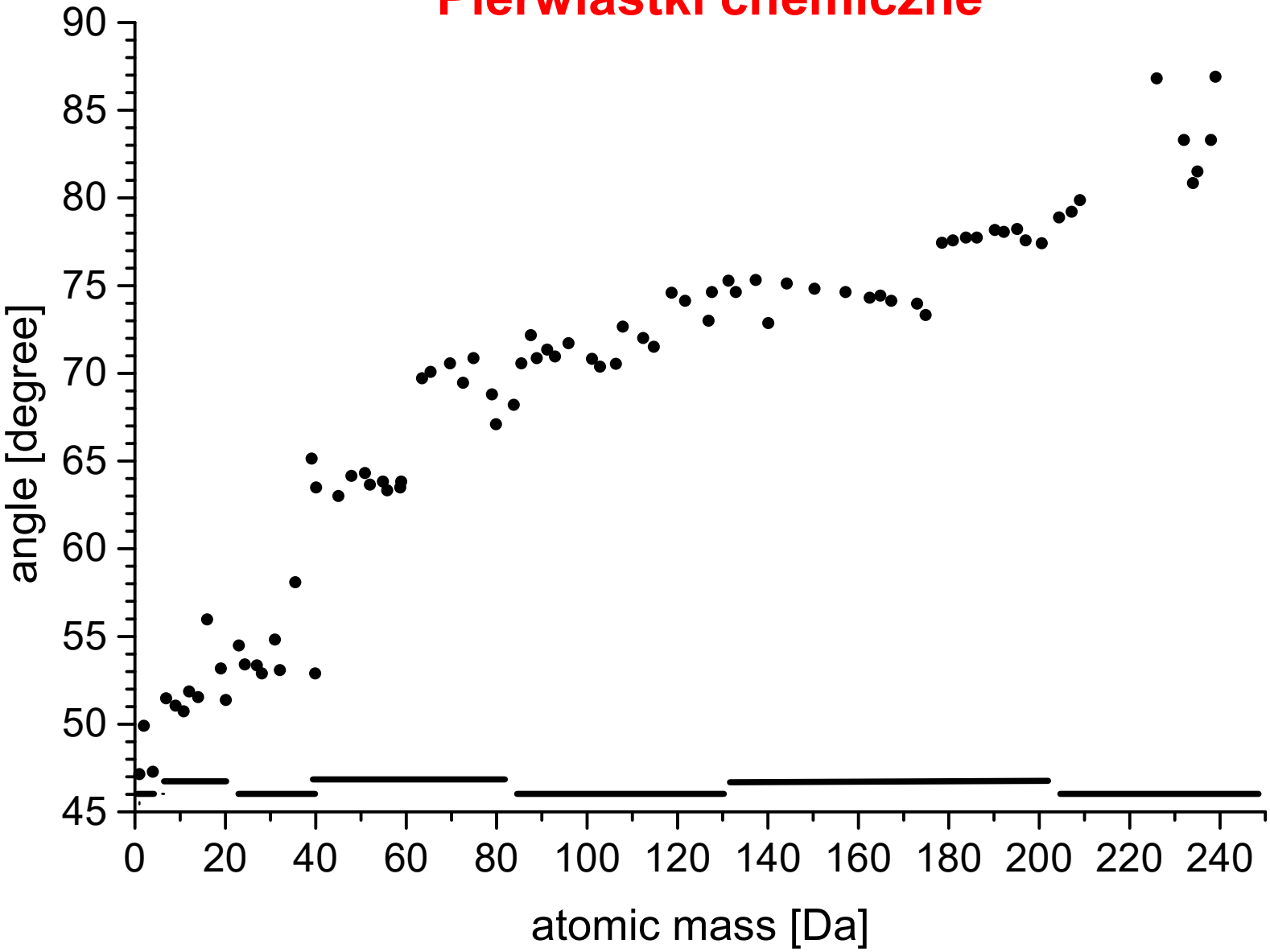

Potwierdzenie obecności określonego pierwiastka

1. Potwierdzenie przez rezonanans z pierwiastkiem metalicznym

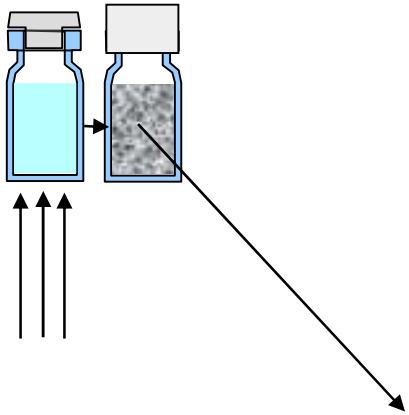

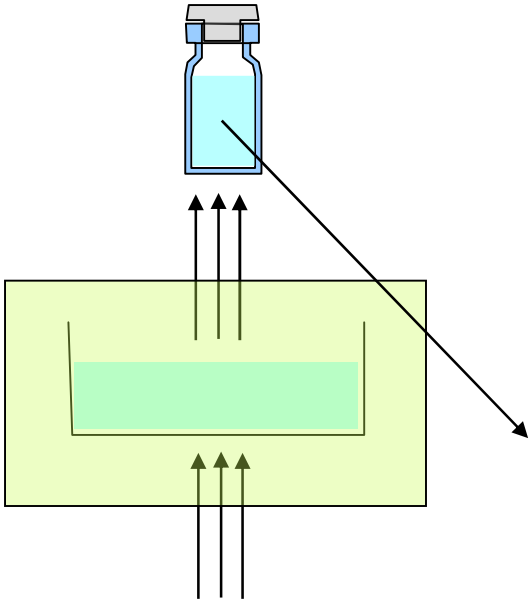

2. Potwierdzenie przez podświetlenie próbki preparatem homeopatycznym

Aktywowane pierwiastki

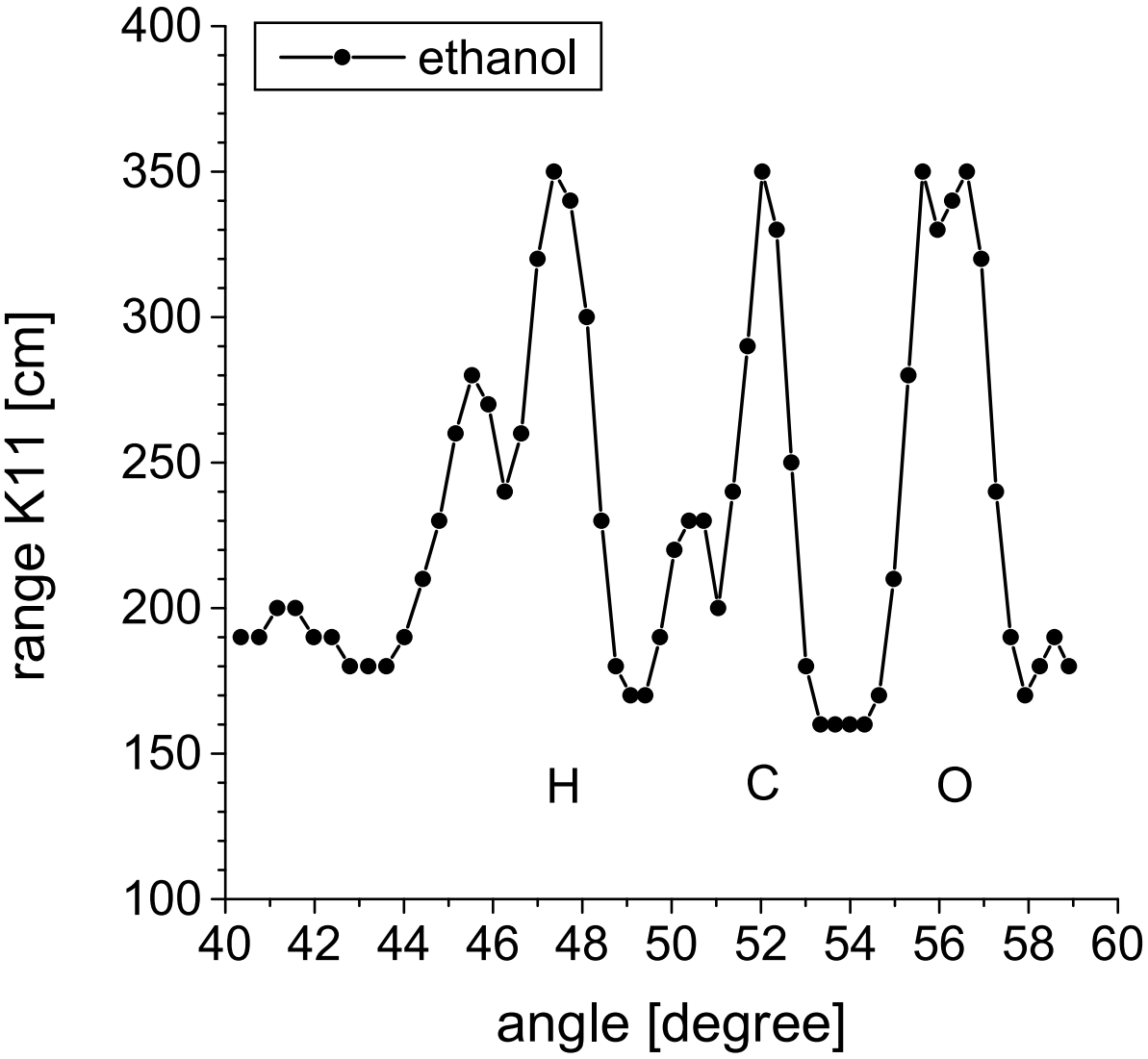

Substancja aromatyczne

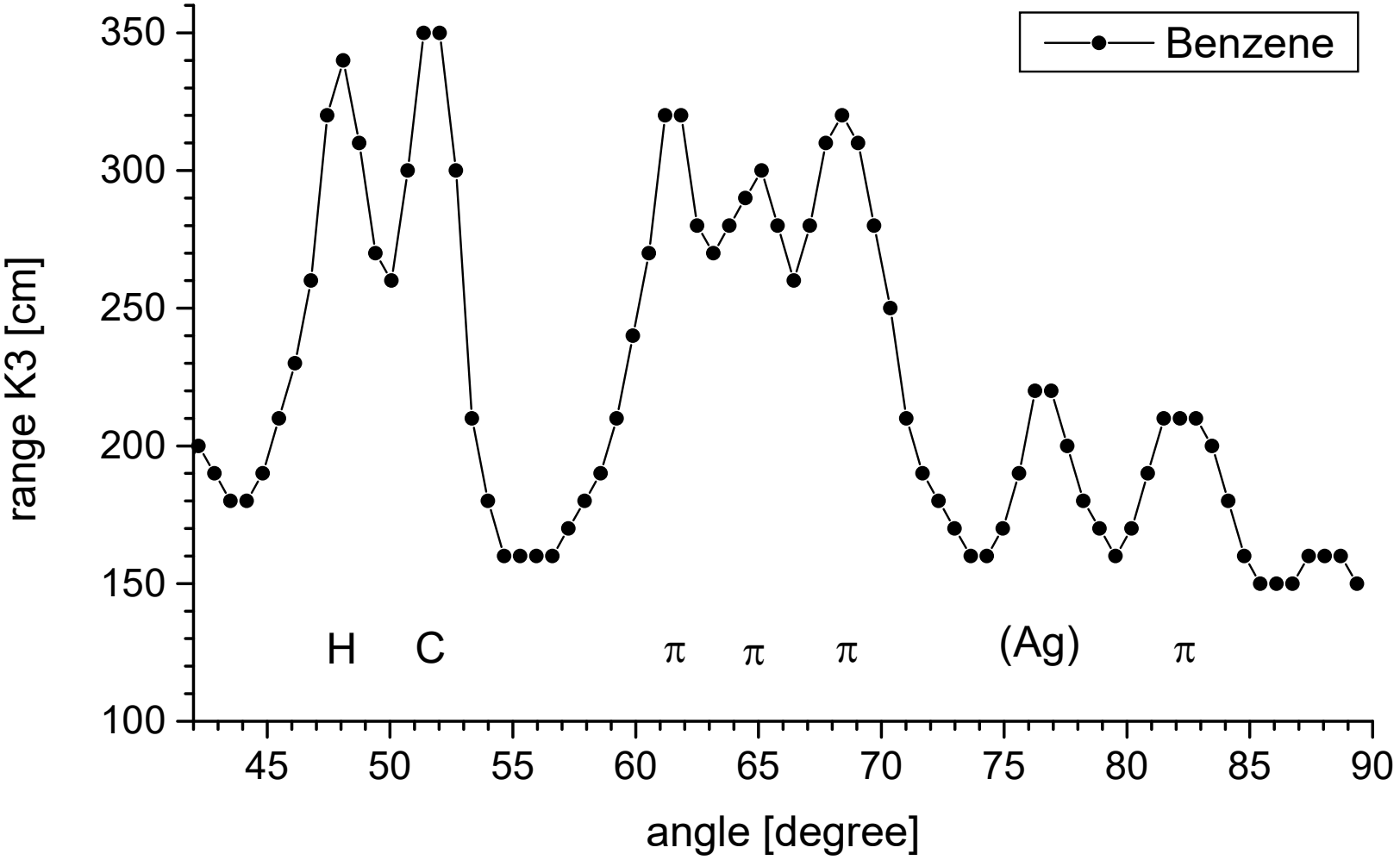

Jony

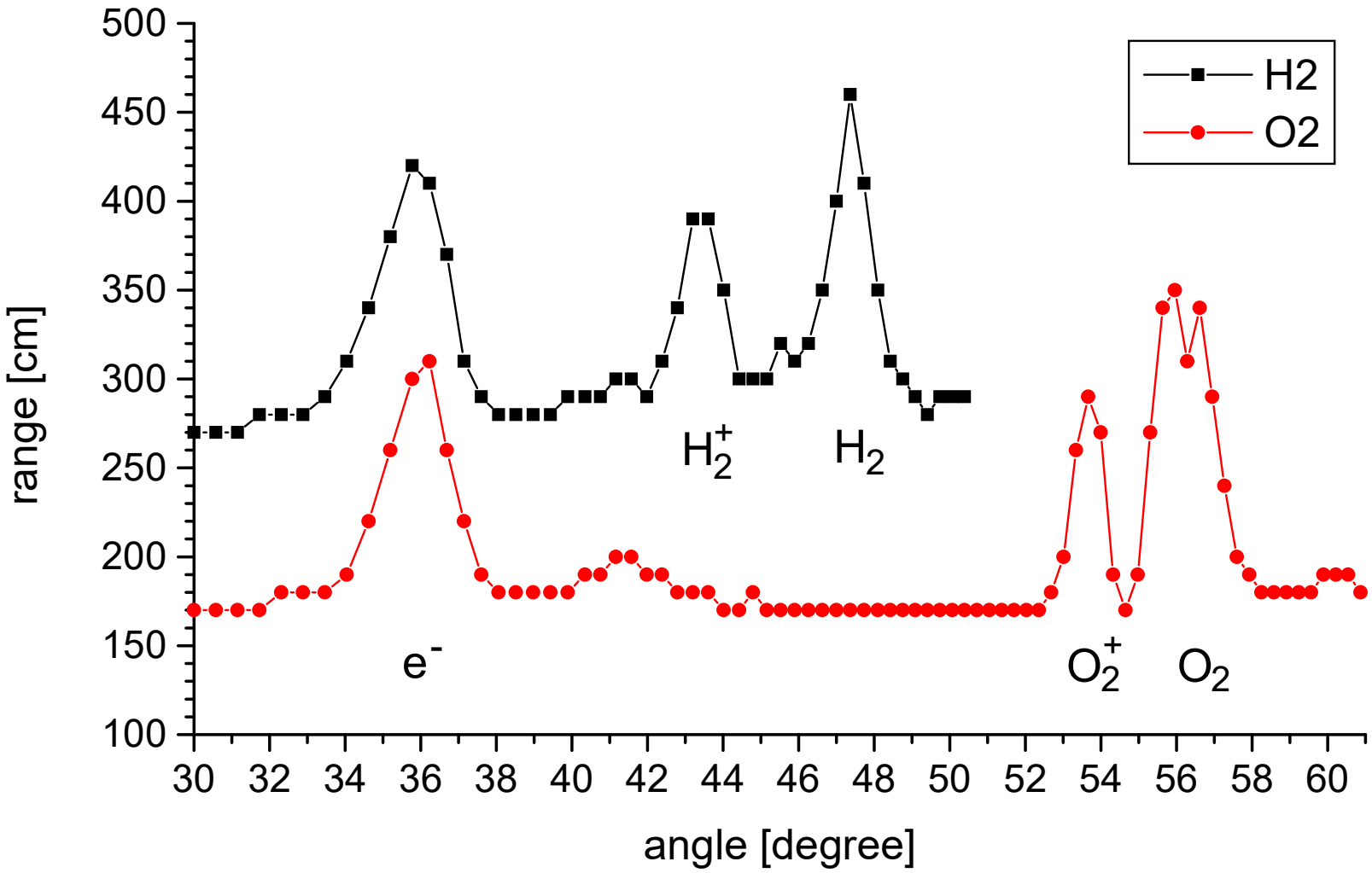
range [cm]
angle [degree]
H2
O2
e-
H2+
H2
O2+
O2
500
450
400
350
300
250
200
150
100
30
32
34
36
38
40
42
44
46
48
50
52
54
56
58
60

Pierwiastki promieniotwórcze

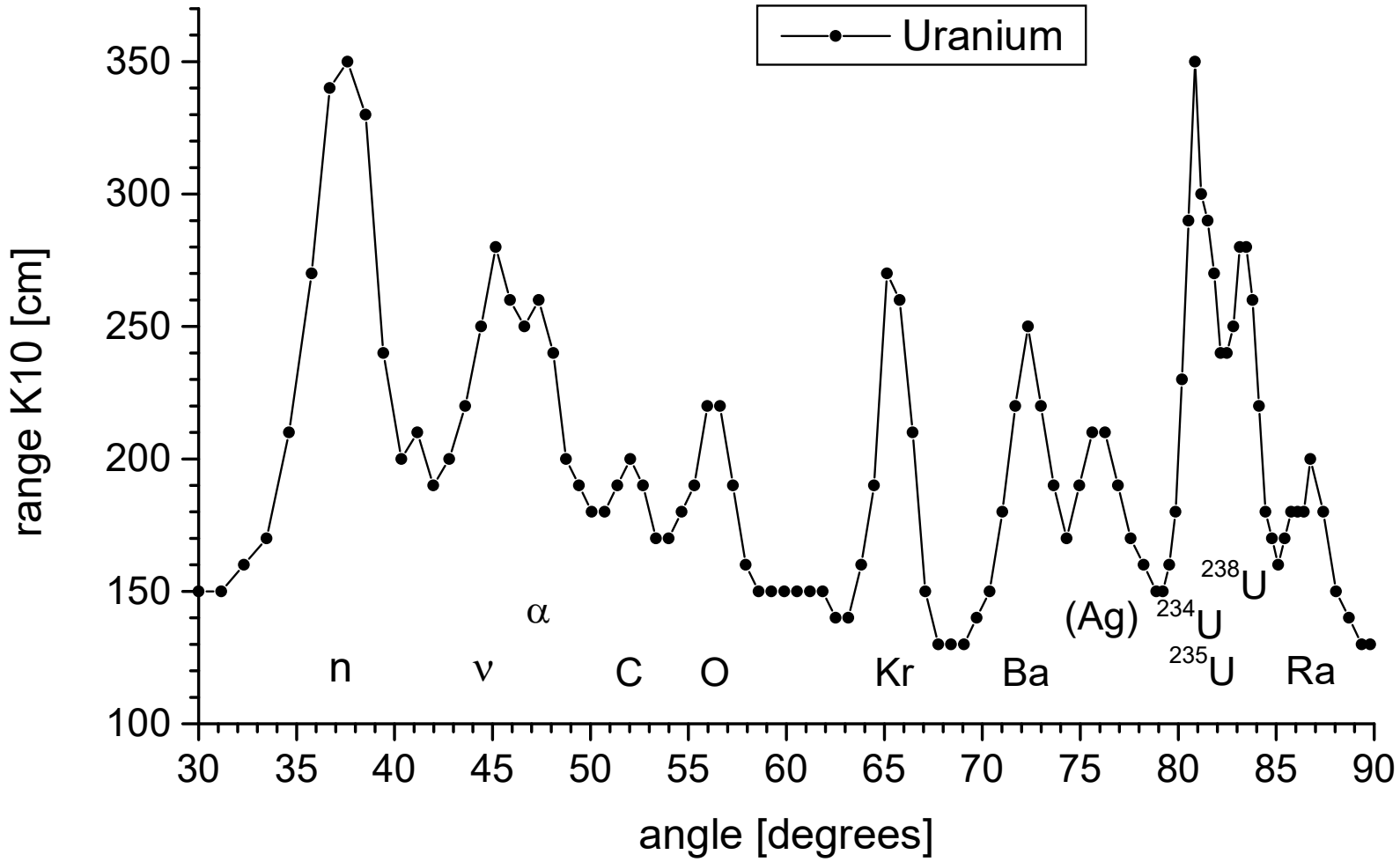

$^{238}U \rightarrow {}^{234}U + \alpha$

$^{234}U \rightarrow {}^{226}Ra + 2\alpha$

$^{235}U + n \rightarrow {}^{141}Ba + {}^{92}Kr + n$

Pierwiastki promieniotwórcze

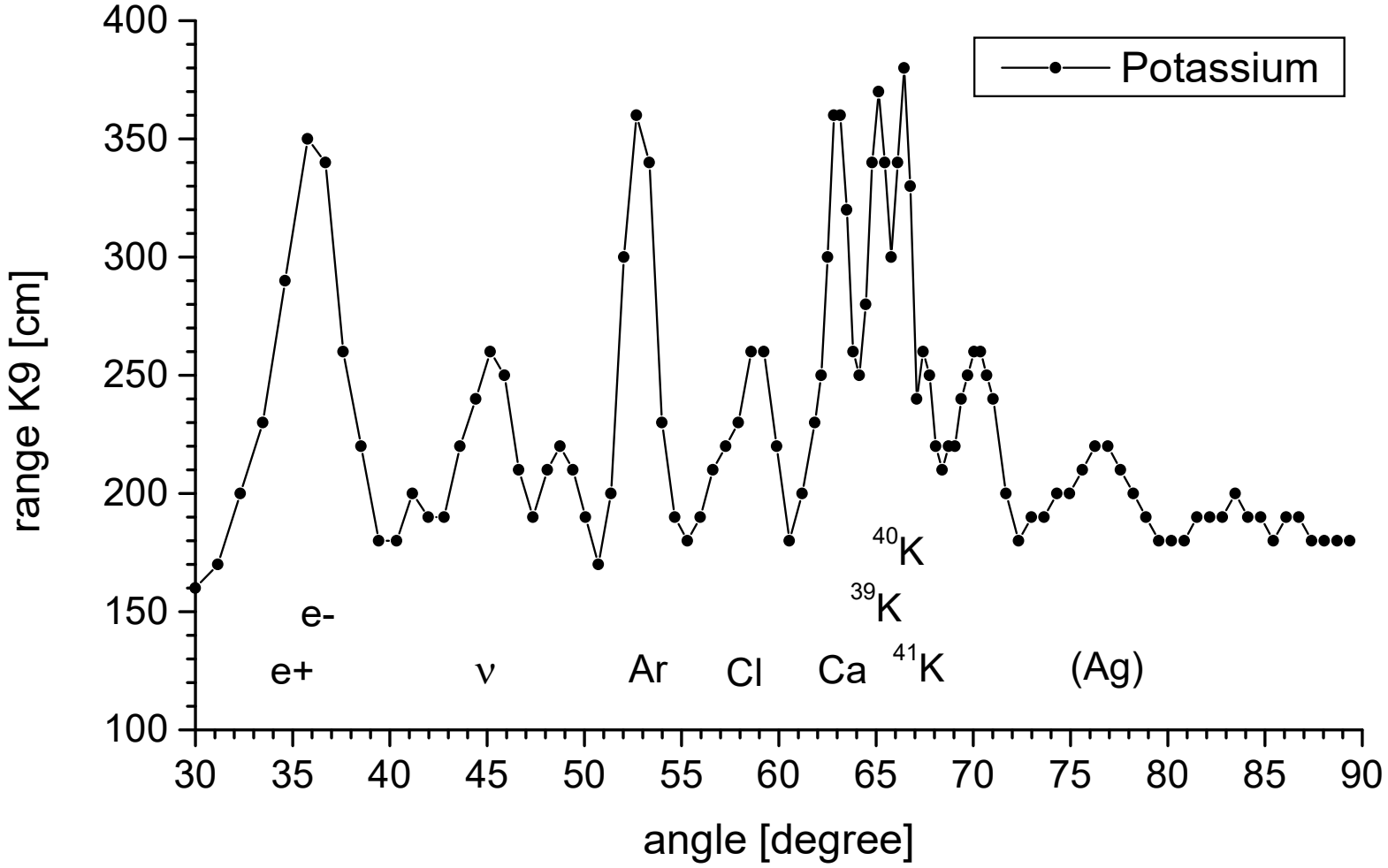

$40K \rightarrow 40Ca + e^-$

$40K \rightarrow 40Ar + e+$

Rozdział dwóch reakcji jądrowych

W przypadku potasu 40 znane istotne reakcje rozpadu to: $^{40}K \rightarrow {}^{40}Ca + e^{-}$, $^{40}K \rightarrow {}^{40}Ar + e+$ oraz analogiczny rozpad z utworzeniem argonu, gdzie zamiast powstania pozytronu występuje wychwyt elektronu z powłoki elektronowej K

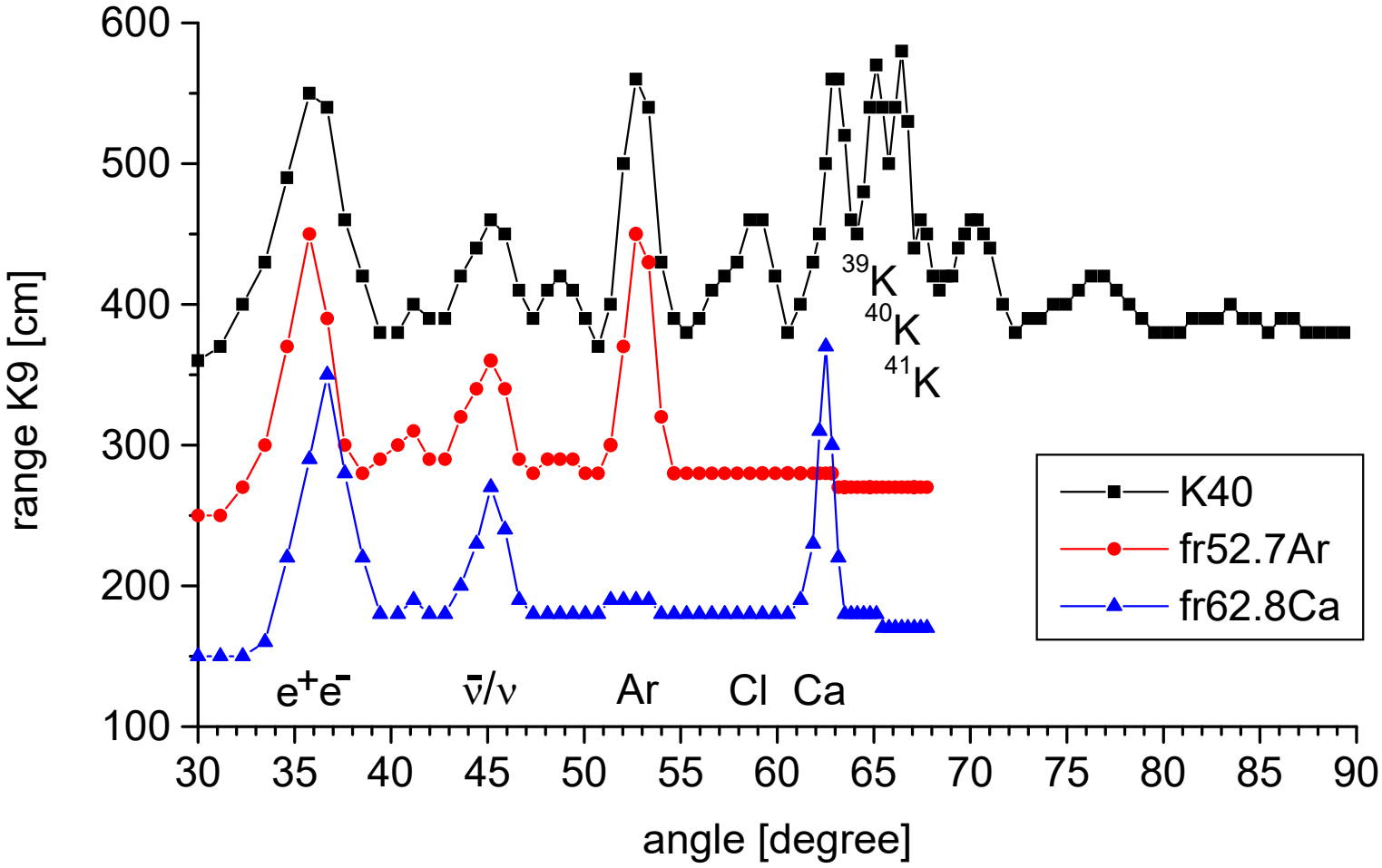

Powiązanie metali, Kategorii i znaków zodiaku

Kategoria	**znak zodiaku**	**wzorzec do pomiaru**
K1	Baran	bizmut
K2	Byk	magnez
K3	Bliźnięta	antymon
K4	Rak	srebro
K5	Lew	wanad
K6	Panna	klej do klejenia na gorąco
K7	Waga	ołów
K8	Skorpion	molibden
K9	Strzelec	aluminium
K10	Koziorożec	cyna
K11	Wodnik	miedź
K12	Ryby	mangan

Spektroskop radioniczny - wzmacniacz

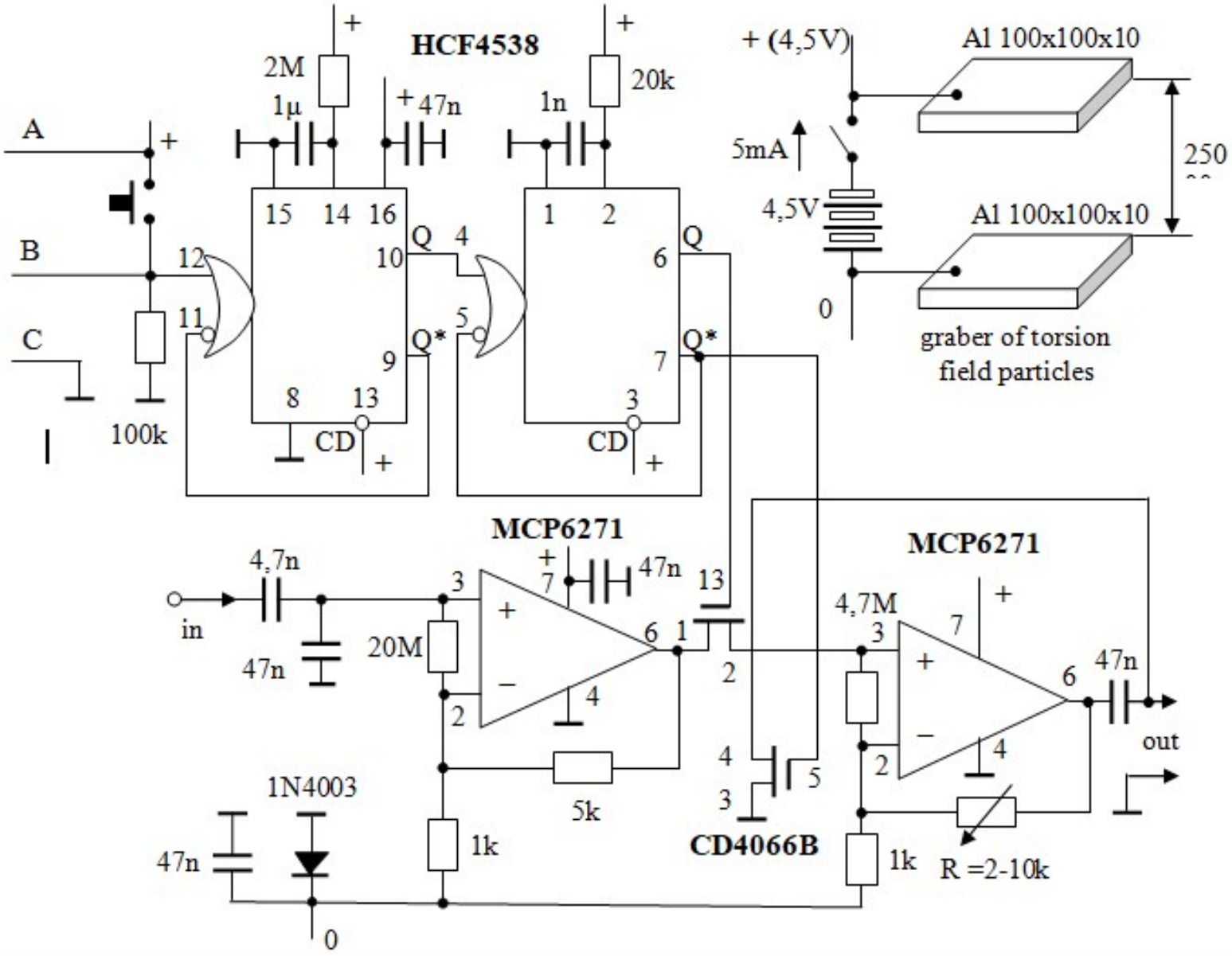

Spektroskop radioniczny - układ kasowania

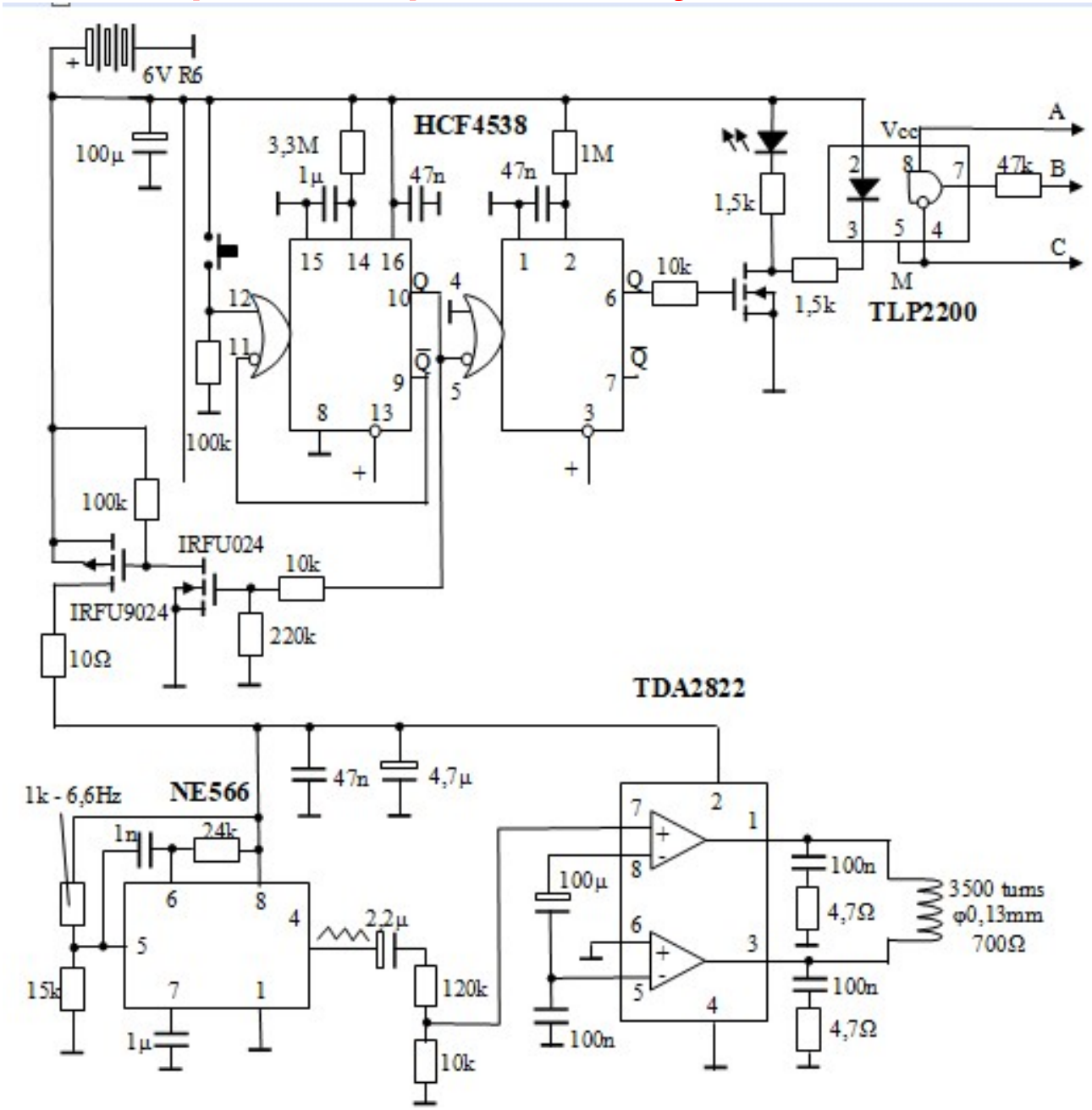

Łapacz cząstek pola torsyjnego

Układ spektroskopu

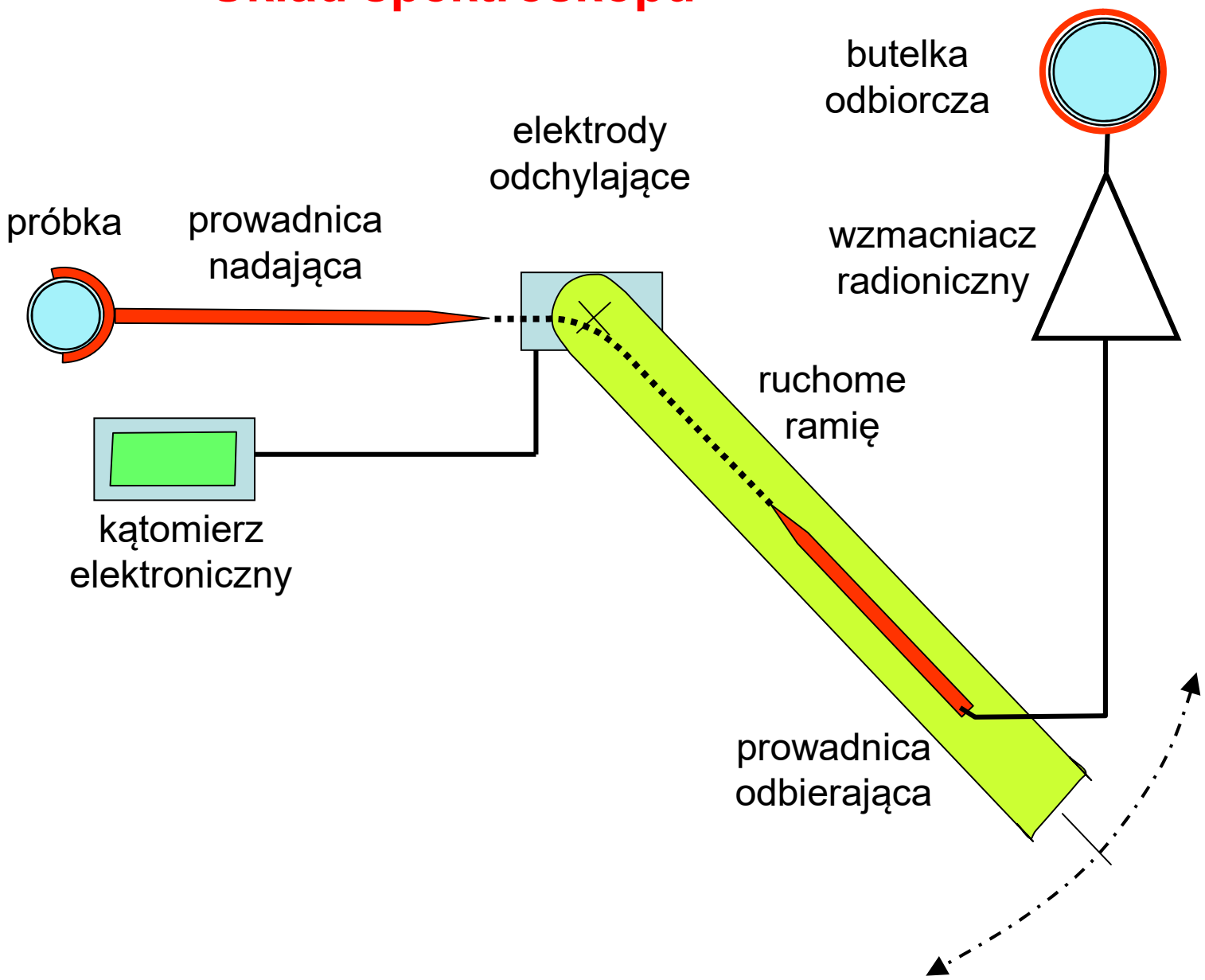

Układ badania rozłamów tektonicznych

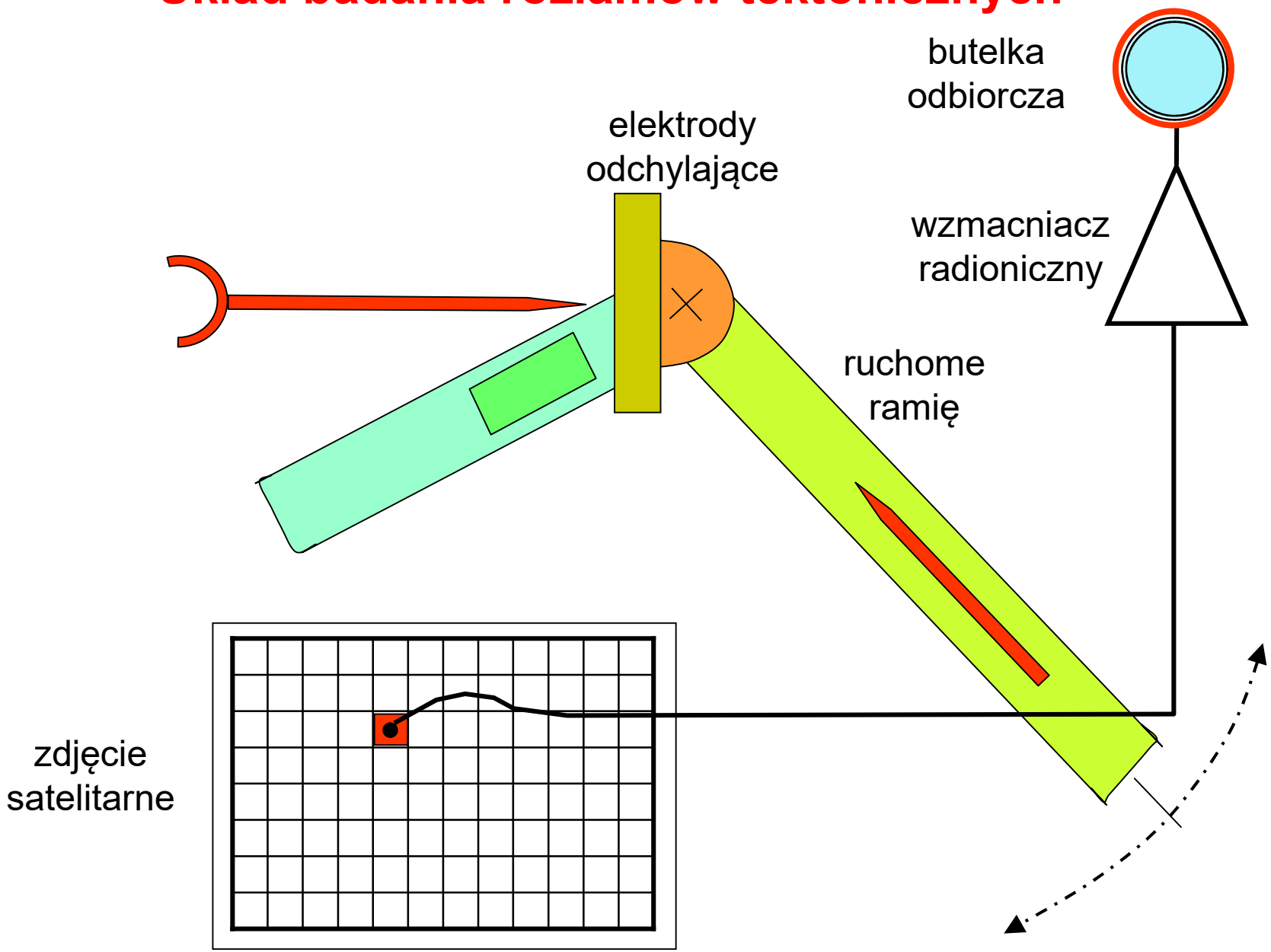

Układ poszukiwania obiektów podziemnych

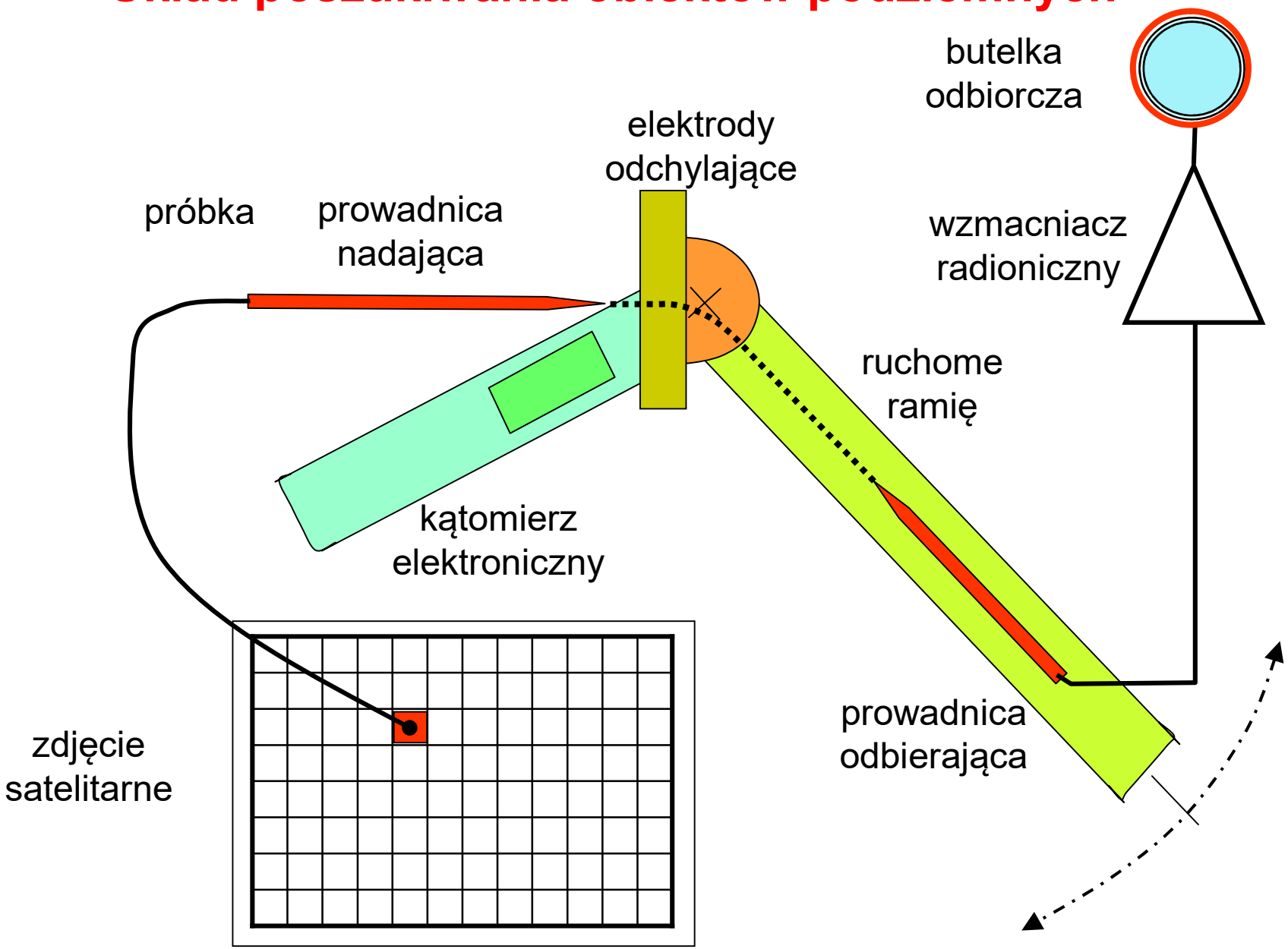

Układ spektroskopu

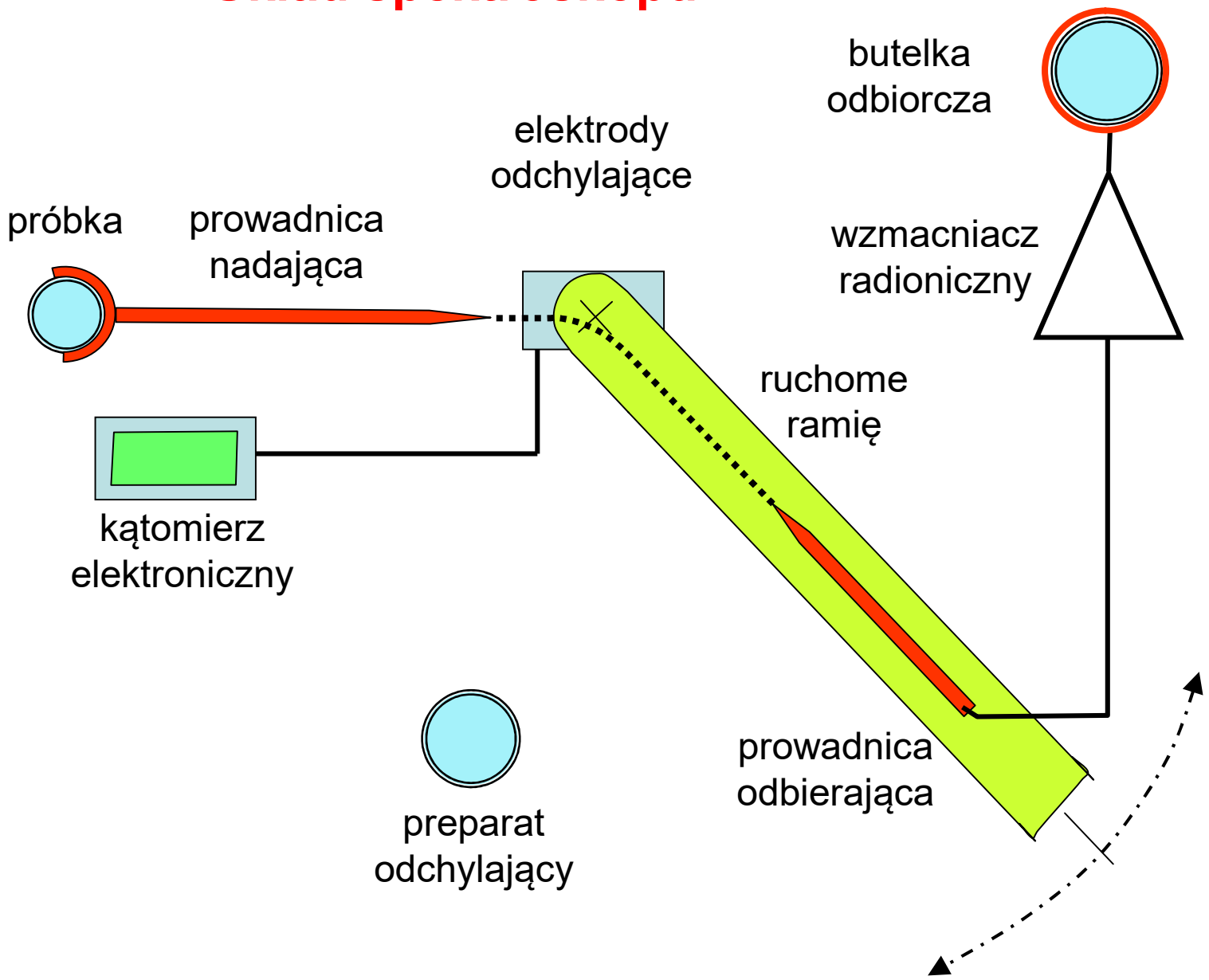

Układ poszukiwania obiektów podziemnych

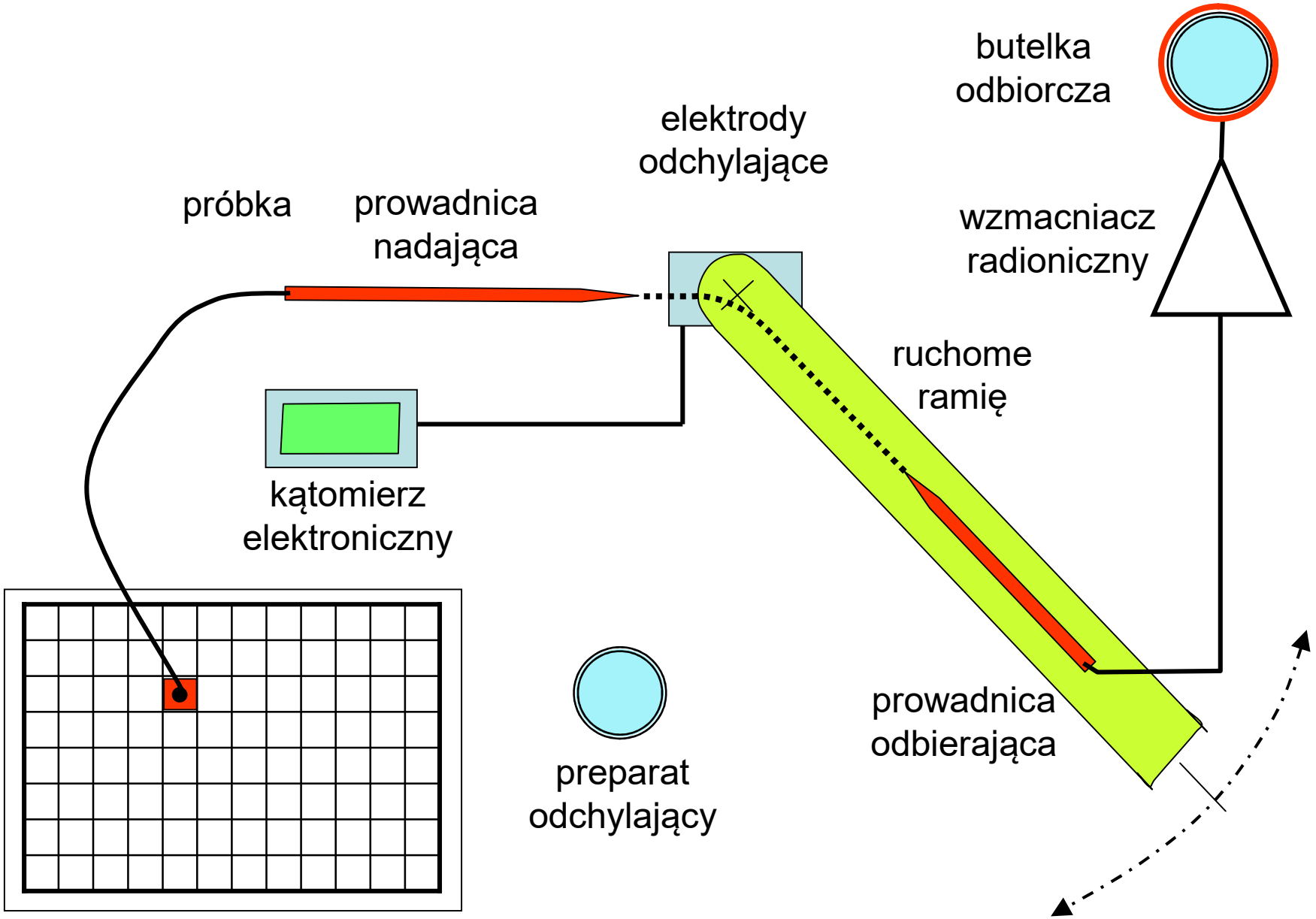

Refrakcja z użyciem sygnału protonów

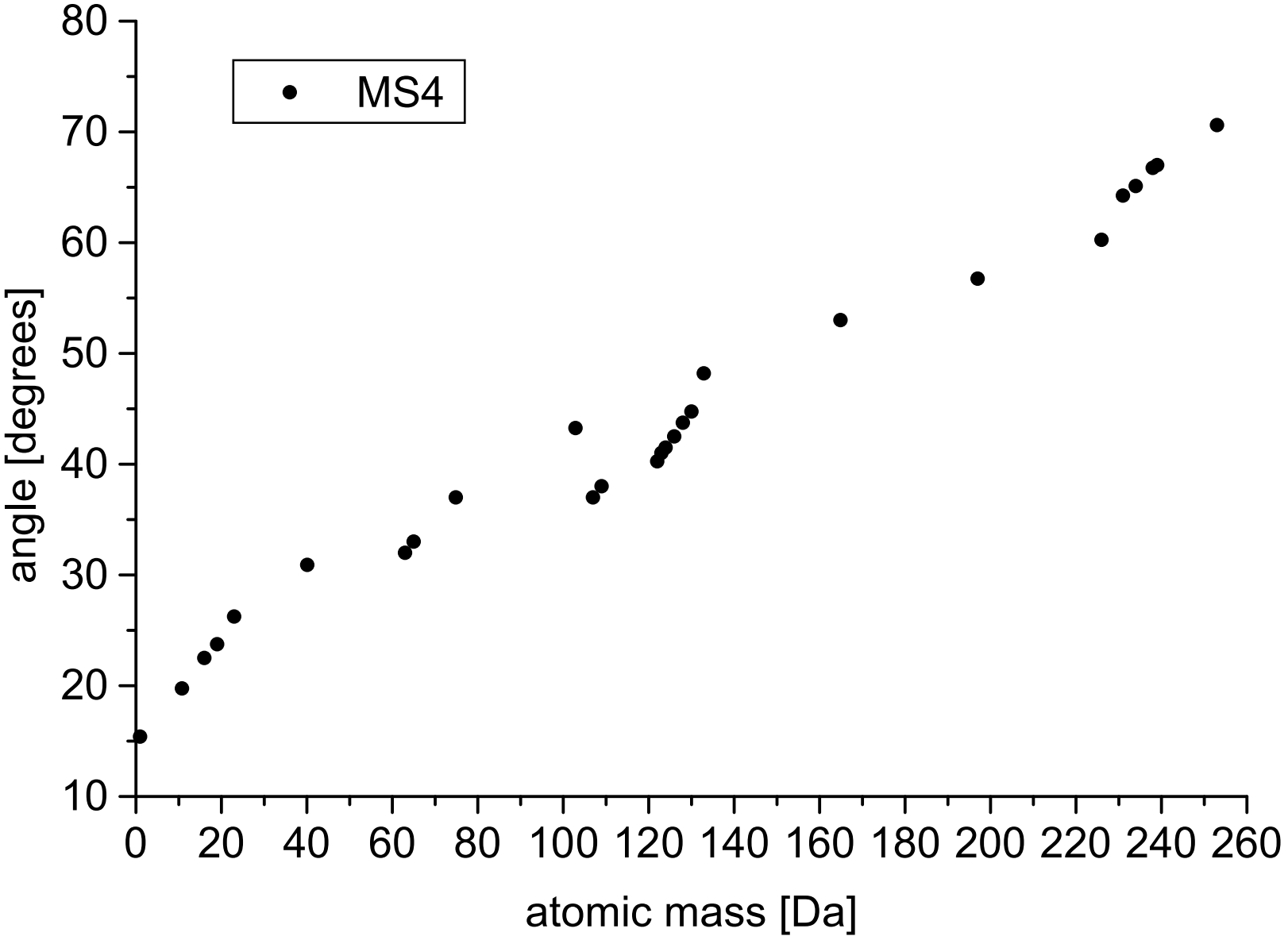

Spektroskop cząstek pola torsyjnego

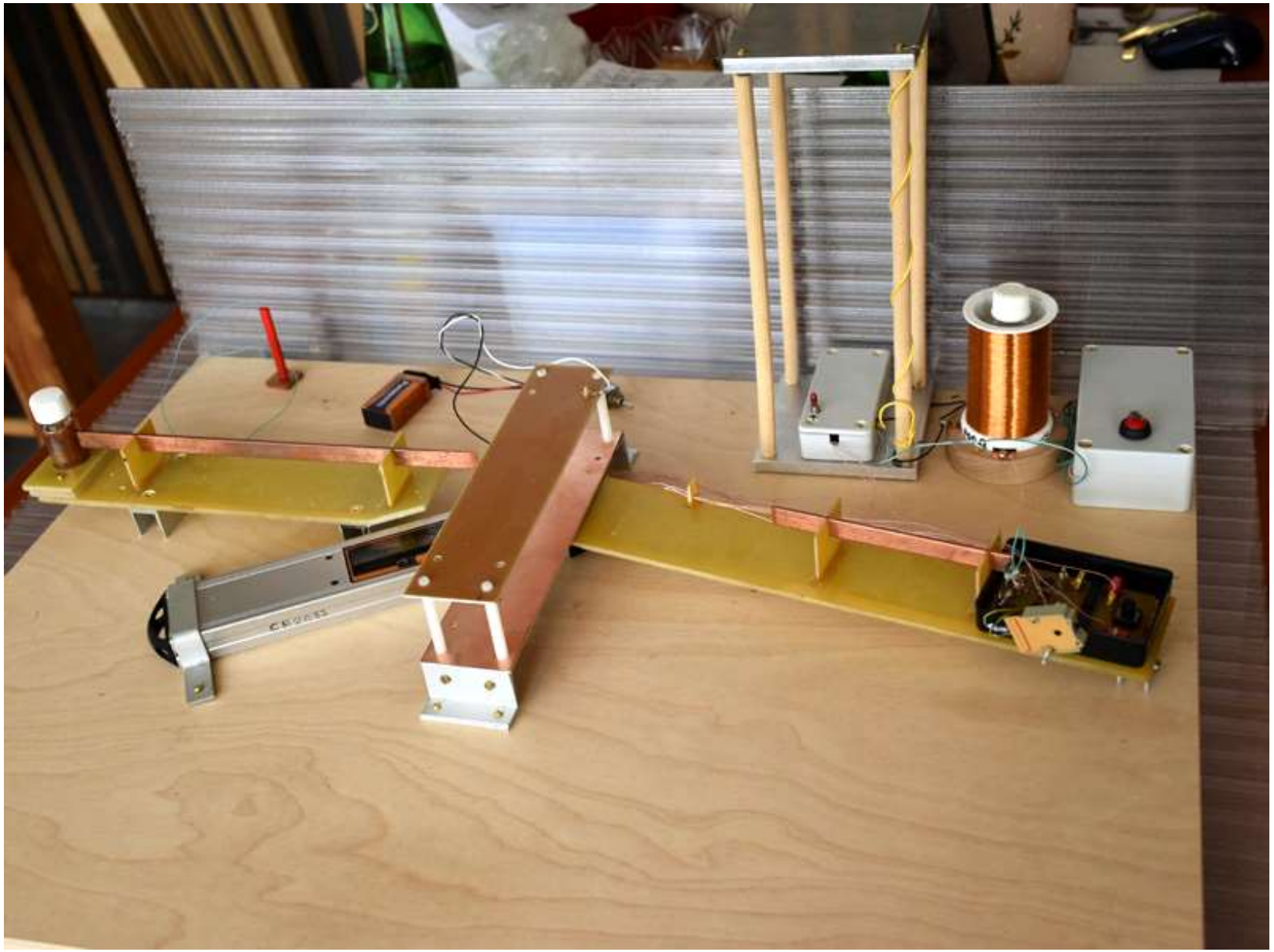

Świadomość - emocje - nadprzewodzący pierwiastek 115

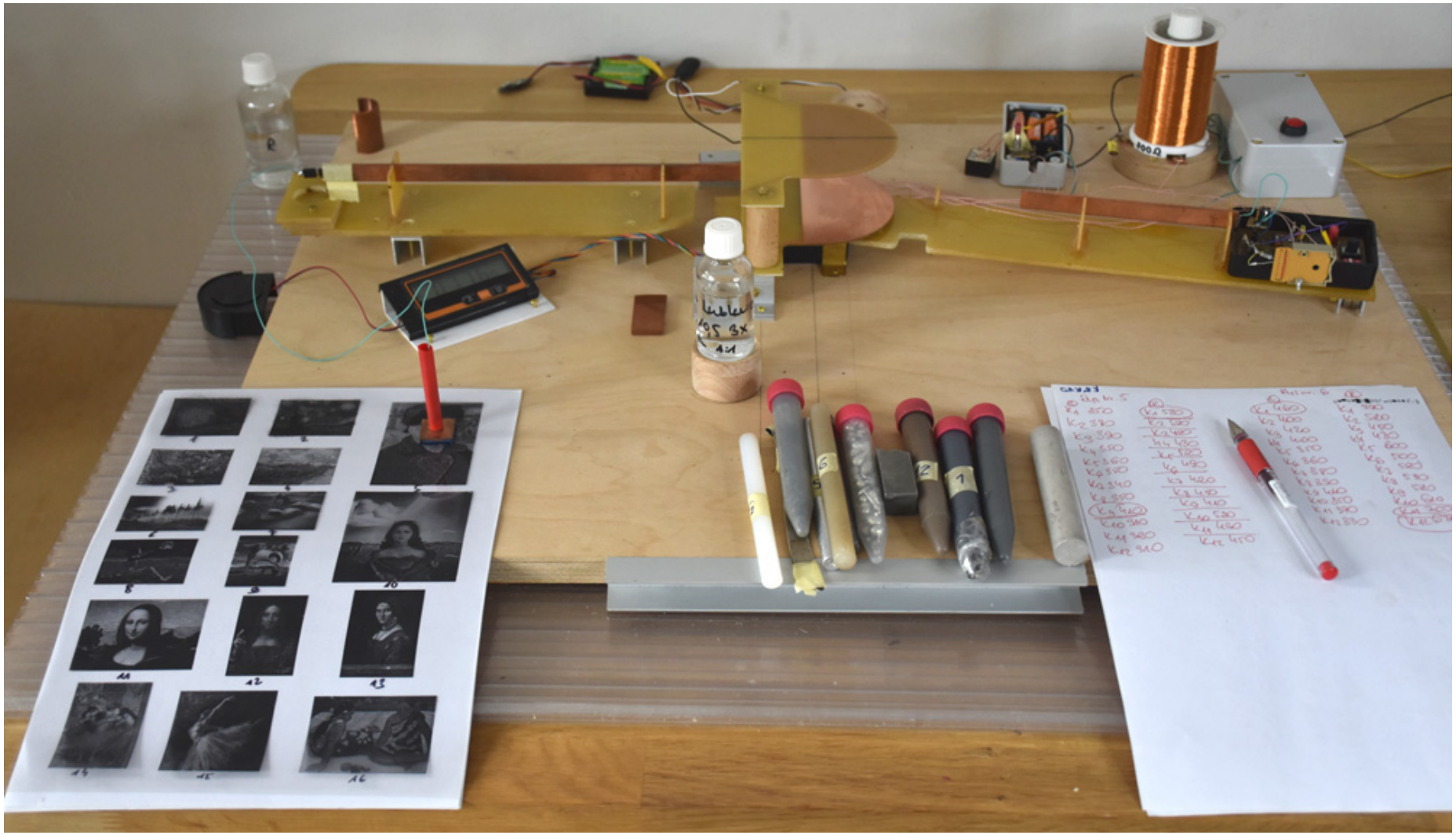

Wykorzystanie spektroskopu z rozszczepieniem polem protonów do rozpoznawania 24 emocji

Metody radioniczne

Wzmacniacz operacyjny na tranzystorach MOSFET

(2015)

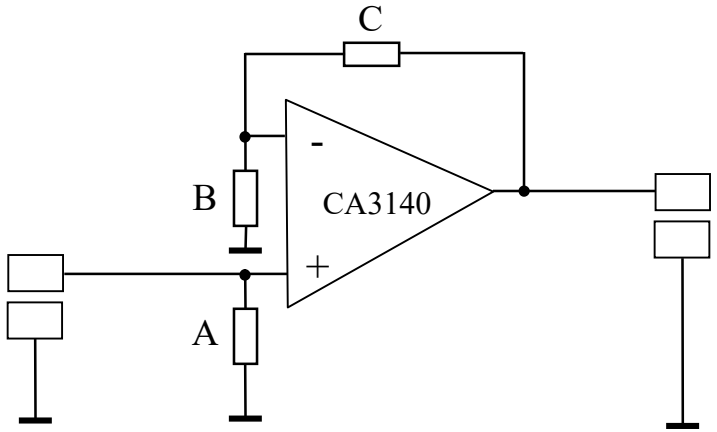

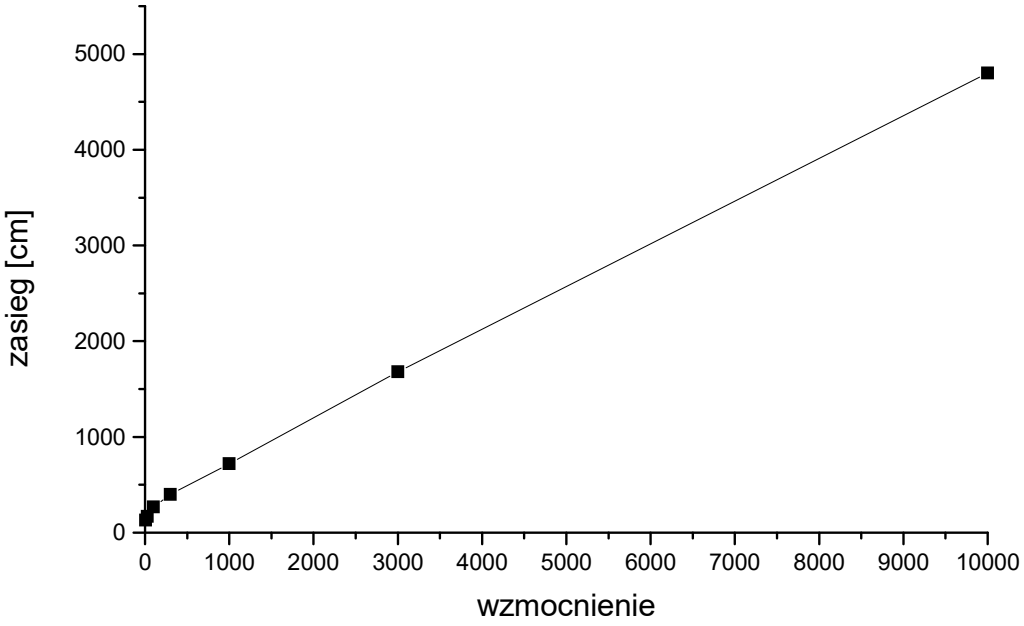

Filtracja pierwiastków equalizerem

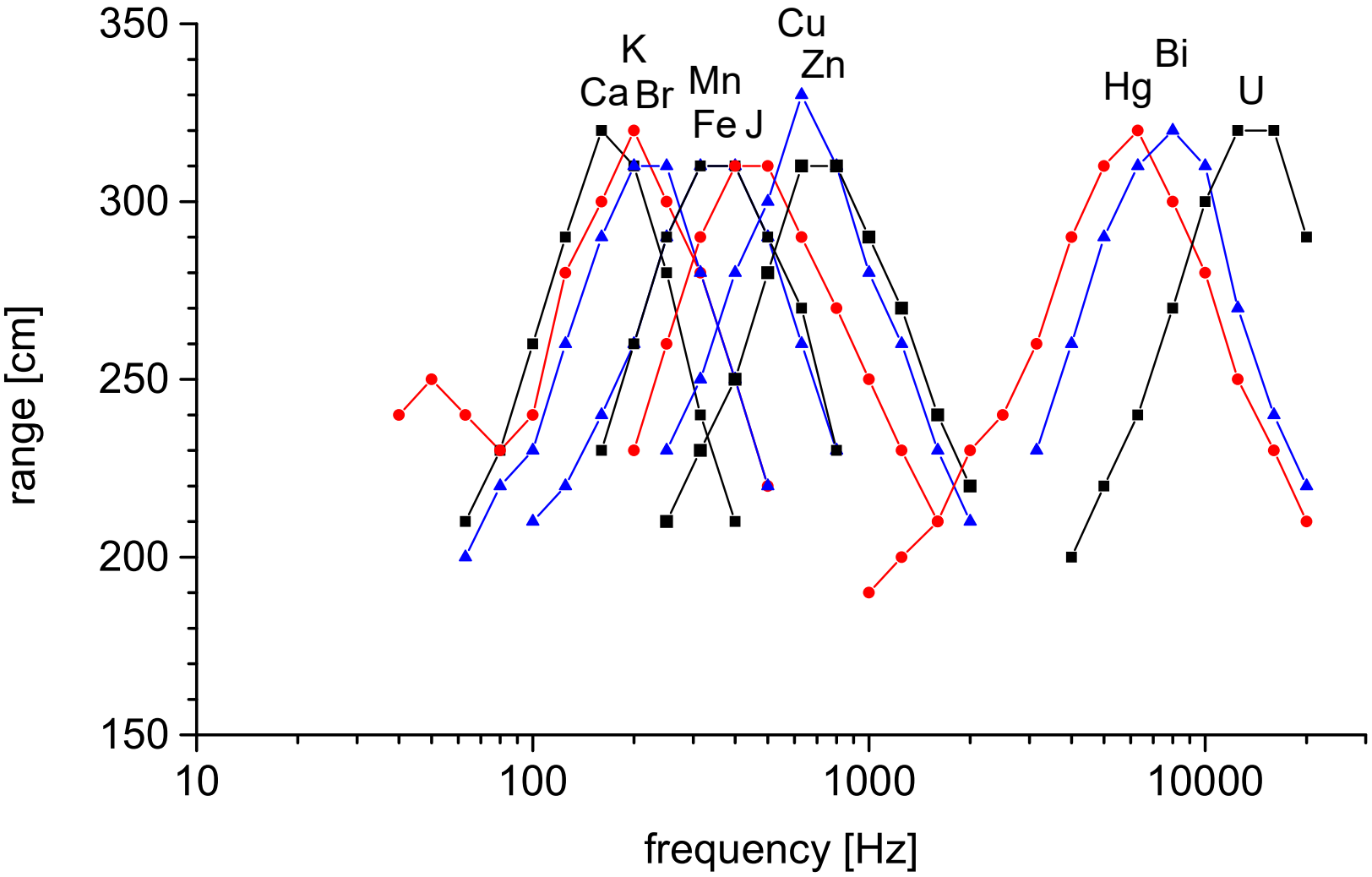

Położenie pierwiastków na spektrum częstotliwości

pierwiastek	masa atomowa	f [Hz]
e^-		28
p	1	30
n	1	33
C	12,0	48
H	1,0	55
N	14,0	55
Mg	24,3	65
O	16,0	65
Na	23,0	80
S	32,1	90
P	31,0	100

pierwiastek	masa atomowa	f [Hz]
Cl	35,5	135
Se	79,0	135
Ca	40,1	170
K	39,1	200
Br	79,9	225
Fe	55,8	360
Mn	54,9	360
J	126,9	450
Cu	63,5	660
Zn	65,4	720
Hg	200,6	6 000
Bi	209,0	8 000
U	238,0	14 000

Pomiary zasięgu preparatów homeopatycznych

Wielkość butelki z preparatem

Problem podwyższonego promieniowania radiestezyjnego

- napromieniowanie oczami
- napromieniowanie palcem
- kostki metalowe

Zależność zasięgu promieniowania od długości drogi w preparacie homeopatycznym

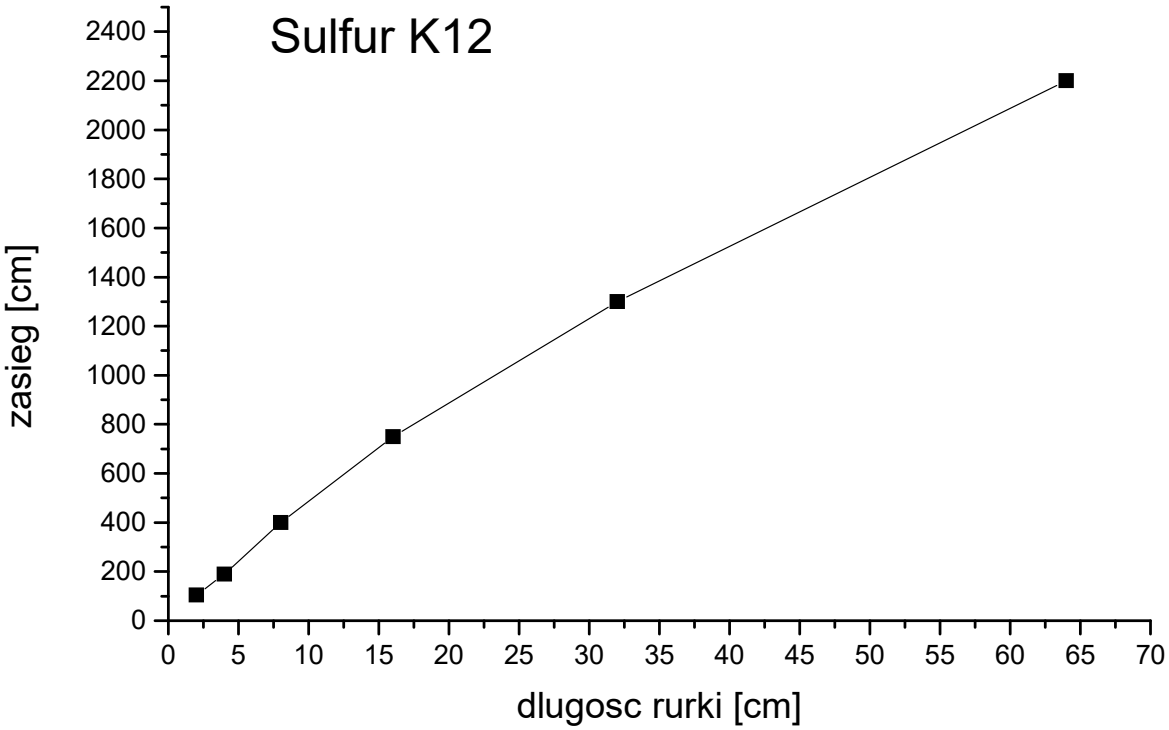

Zasięg promieniowania preparatu homeopatycznego z zaślepionych rurek poliwęglanowych. Zasięg jest w przybliżeniu proporcjonalny do długości rurki lub grubości butelki w której znajduje się lek homeopatyczny.
Lek sam przyspiesza wyrzucane przez siebie promieniowanie pola torsyjnego.

Przyspieszanie cząstek pola torsyjnego

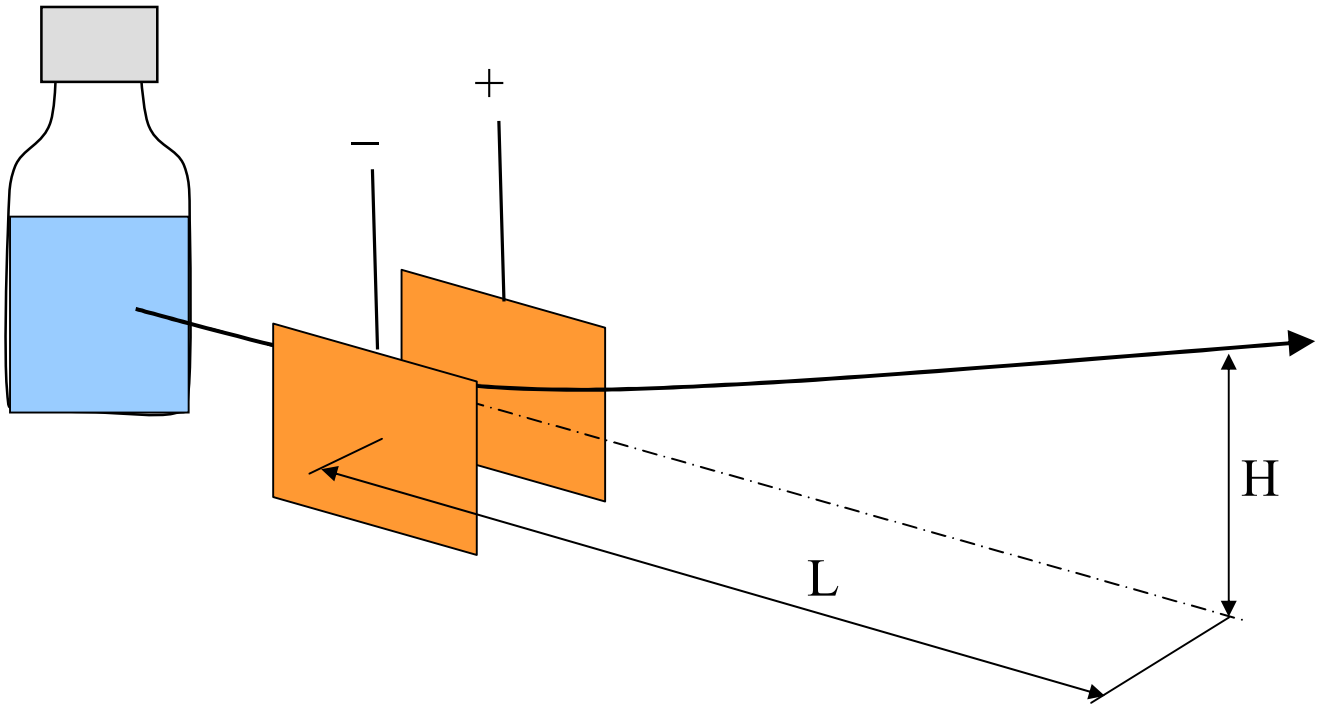

Akceleratory cząstek pola torsyjnego

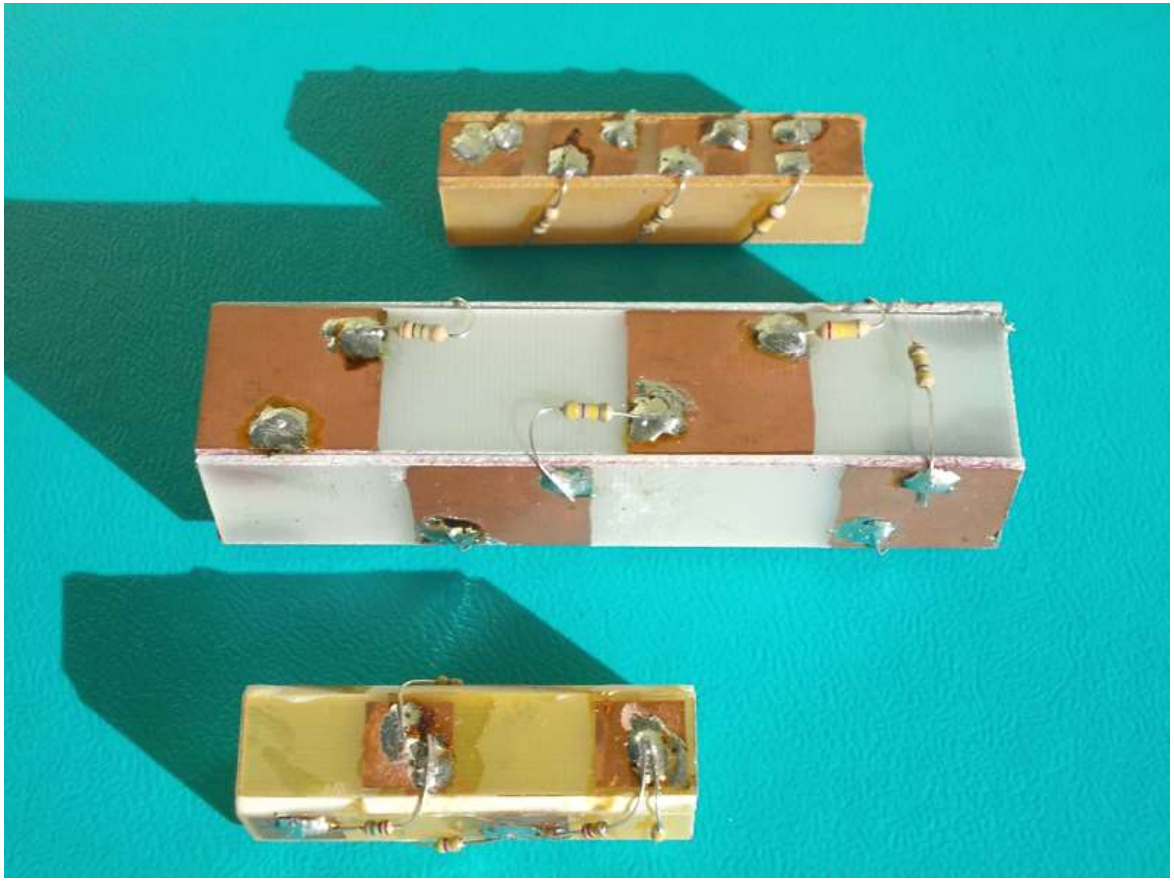

Akcelerator w wirowym polu torsyjnym

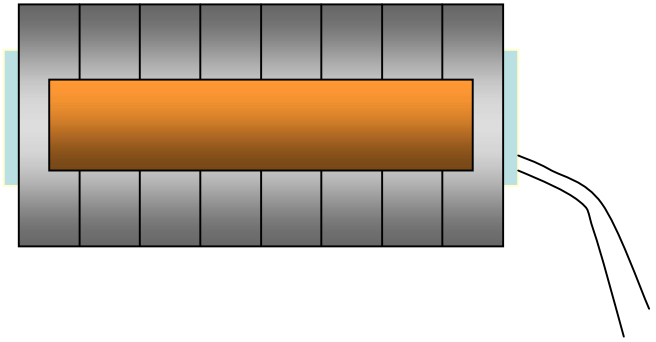

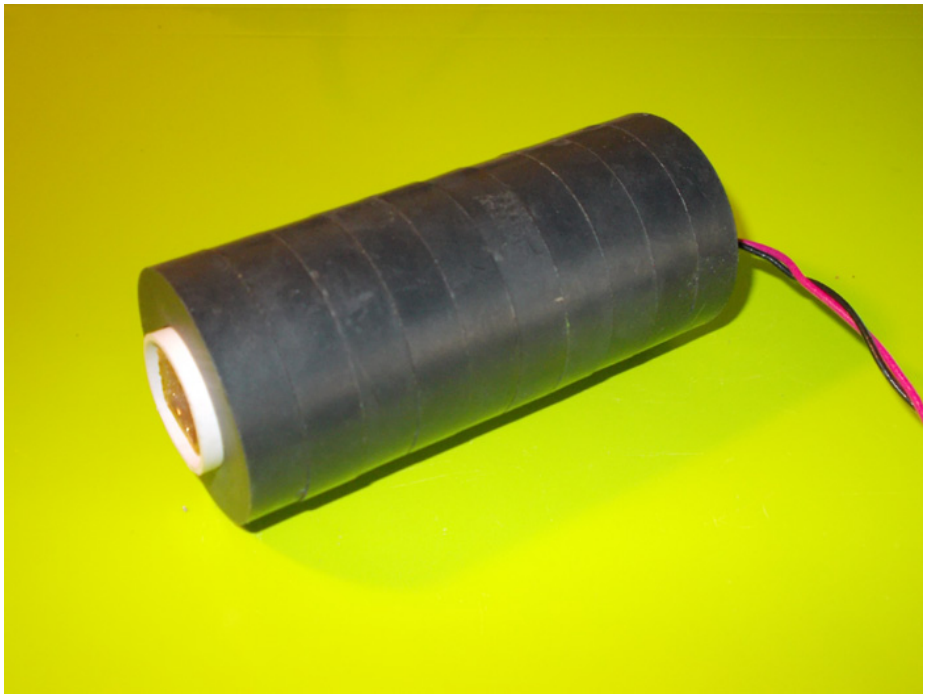

Opis matematyczny akceleratora pól torsyjnych

Dokładniej wyznaczony przez nas doświadczalnie przybliżony wzór dla akceleratora pola torsyjnego wygląda następująco:

$$v/v_0 = \gamma \Phi B U$$

gdzie:

v - uzyskiwana szybkość cząstek eteru/ pola torsyjnego

v_0 - szybkość cząstek eteru/ pola torsyjnego na wejściu akceleratora

γ - stała związana z konstrukcją akceleratora

Φ – całkowity strumień pierwotnych pól torsyjnych docierających z zewnątrz

B - osiowa indukcja pola magnetycznego w jakiej znajduje się akcelerator

U - napięcie zasilania akceleratora

Duplikator